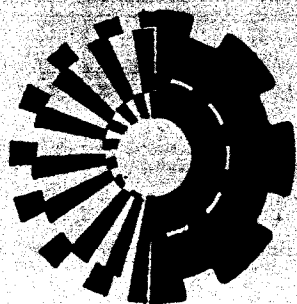


**МИНИСТЕРСТВО ОБРАЗОВАНИЯ
УКРАИНЫ**

ISSN 0453-7998

ISSN 0234-5110

ВЕСТНИК



**Харьковского
Государственного
Политехнического
Университета**

Выпуск 34

ХГПУ 1999

У віснику представлені теоретичні та практичні результати наукових досліджень та розробок, що виконані викладачами вищої школи, аспірантами, науковими співробітниками різних організацій та підприємств.

Для наукових співробітників, викладачів, аспірантів.

В вестнике представлены теоретические и практические результаты научных исследований и разработок, выполненных преподавателями высшей школы, аспирантами, научными сотрудниками различных организаций и предприятий.

Для научных работников, преподавателей, аспирантов.

Редакційна колегія: *В.Л.Авраменко*, д-р техн.наук, проф.; *Байрачий Б.І.*, д-р техн.наук, проф.; *Брагін Л.Л.*, д-р техн.наук, проф.; *Гладкий Ф.Ф.*, д-р техн.наук, проф.; *Горбачов О.К.*, д-р техн.наук, проф.; *Гуль Г.І.*, д-р техн.наук, проф.; *Демидов І.М.*, д-р техн.наук, проф.; *Каратес А.М.*, д-р техн.наук, проф.; *Клецов М.Ф.*, д-р техн.наук, проф.; *Лобойко О.Я.*, д-р техн.наук, проф.; *Мельник О.П.*, д-р техн.наук, проф.; *Орехова В.В.*, д-р техн.наук, проф.; *Питак М.В.*, канд. техн.наук, доц.; *Рищенко М.І.*, д-р техн.наук, проф. (відп. ред.); *Савенков А.С.*, д-р техн.наук, проф.; *Семченко Г.Д.*, д-р техн.наук, п.н.с.; *Скляр М.Г.*, д-р техн.наук, проф.; *Слободський С.О.*, д-р техн.наук, Ткач Г.А., д-р техн.наук, проф.; *Товажнянський Л.Л.*, д-р техн.наук, проф.; *Тошанський В.І.*, д-р техн.наук, проф.; *Шаповров В.П.*, д-р техн.наук, проф.; *Шустиков В.І.*, д-р техн.наук, проф.; *М.Д.Годлевський*, д-р техн.наук, проф.; *Л.Г.Раскін*, д-р техн.наук, проф. (заст. відп. ред.); *М.І.Безменов*, канд.техн.наук, доц. (відп.секр.); *Є.Г.Голоскоков*, д-р техн.наук, проф.; *А.В.Дабаян*, д-р техн.наук, проф.; *В.Я.Заруба*, д-р екон.наук, проф.; *Ю.Т.Костенко*, д-р техн.наук, проф.; *О.С.Куценко*, д-р техн.наук, проф.; *Л.М.Любчик*, д-р техн.наук, доц.; *Г.А.Сухоруков*, д-р техн.наук, проф.; *Ю.В.Шкварко*, д-р техн.наук, проф.; *М.О.Ястребенецький*, д-р техн.наук, проф.; *П.Г.Перерева*, д-р екон.наук, проф.; *А.І.Яковлев*, д-р екон.наук, проф.; *В.М.Тимофєєв*, д-р екон.наук, проф.; *В.А.Мищенко*, д-р екон.наук, проф.

Адреса редакційної колегії: 310002, м.Харків, вул.Фрунзе, 21, Харківський державний політехнічний університет, тел.: (0572) 40 - 02 - 78.

Рекомендовано до друку Вченою радою ХДПУ, протокол № 6 від 4.06.99р.

В 4309010000 - 053
99 Замовлене

© Харківський державний

політехнічний університет, 1999

УДК 532.58: 678.027

Л.М. Ульев, канд. техн. наук

МЕДЛЕННЫЕ ТЕЧЕНИЯ В КОАКСИАЛЬНЫХ КОНИЧЕСКИХ ЩЕЛЯХ ПЕРЕМЕННОЙ ШИРИНЫ

Розв'язана задача повільної течії ньютонівської рідини у коаксиальних конічних каналах змінної ширини. Отримані зручні залежності для розрахунку перепаду тиснення та швидкості.

Ранее в работах [1,2] автором отмечалась актуальность моделирования медленных течений в проточных деталях химического оборудования, например, в каналах формирующего оборудования экструзионных машин. В указанных работах получены аналитические решения для гидродинамических задач медленного течения в каналах между соосными коническими поверхностями с общей вершиной и между эквидистантными коническими поверхностями. Там же предложено решение задачи течения в коаксиальных конических щелях переменной ширины с помощью ступенчатой аппроксимации рассматриваемого канала коаксиальными коническими каналами постоянной ширины. Но при медленных изменениях площади поперечного сечения канала вдоль течения можно получить аналитическое решение гидродинамической задачи для таких каналов.

Следуя [1,2], рассмотрим исследуемое течение в биконических координатах, определяемых преобразованием:

$$z = R \cos \alpha + X \sin \alpha, \quad (1)$$

$$y' = (R \sin \alpha - X \cos \alpha) \sin \varphi = \Omega \sin \varphi, \quad (2)$$

$$x' = (R \sin \alpha - X \cos \alpha) \cos \varphi = \Omega \cos \varphi, \quad (3)$$

и тогда система уравнений гидродинамики запишется в виде:

$$\frac{\partial \Pi}{\partial \xi} = \frac{1}{\sigma} \frac{\partial}{\partial \chi} \left(\sigma \frac{\partial v}{\partial \chi} \right), \quad (4)$$

$$\frac{\partial \Pi}{\partial \chi} = \frac{\cos(\alpha) \sin(\alpha)}{\sigma^2} v, \quad (5)$$

$$\frac{\partial}{\partial \xi} (\sigma v) = 0, \quad (6)$$

где $\sigma = \xi \sin \alpha - \chi \cos \alpha$, $\xi = R/h_0$, $\chi = X/h_0$, $V_0 = Q/\pi h_0^2 (2\xi_0 \sin \alpha - \cos \alpha)$, $v = V_R/V_0$, $\Pi = (P - P_0)h_0/\mu V_0$.

Граничными и краевыми условиями являются, условие прилипания на стенках канала и нулевая величина безразмерного давления на входе в канал:

$$v = 0, \quad \chi = 0, \quad (7)$$

$$v = 0, \quad \chi = 1 + a(\xi - \xi_0), \quad (8)$$

$$\Pi = 0, \quad \xi = \xi_0, \quad (9)$$

а также условие постоянства расхода:

$$\int_0^{1+a(\xi-\xi_0)} (\xi \sin \alpha - \chi \cos \alpha) v d\chi = \frac{1}{2} (2\xi_0 \sin \alpha - \cos \alpha). \quad (10)$$

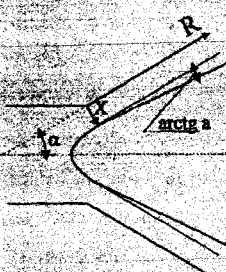


Рис. 1. Поперечное сечение конического канала. α — половина угла раскрытия канала; $\arcsin a$ — угол между образующими поверхностей канала

Величина параметра "а" в (8) и (10) определяется, как угол наклона образующей внутренней стенки канала к образующей внешней стенки (рис. 1).

В работах [1, 2] показано, что в практически важных случаях течения, когда $\xi \operatorname{tg} \alpha \gg \chi$, система уравнений (4) и (5) редуцируется к одному уравнению:

$$\frac{\partial \Pi}{\partial \xi} = \frac{\partial^2 v}{\partial \chi^2}, \quad (11)$$

решение которого с условиями (7) и (8) будет иметь вид:

$$v = \frac{1}{2} \frac{\partial \Pi}{\partial \xi} [\chi^2 - (1 - a\xi_0 + a\xi)\chi]. \quad (12)$$

Подставляя (12) в (10), получим выражение для определения градиента давления:

$$\frac{\partial \Pi}{\partial \xi} = \frac{12(2\xi_0 \sin \alpha - \cos \alpha)}{\cos \alpha} \frac{1}{[1 + a(\xi - \xi_0)]^3 \cdot [1 - a\xi + \xi(a - 2\operatorname{tg} \alpha)]}. \quad (13)$$

Выполняя интегрирование в (13), получим решение задачи (7)-(11):

$$v = \frac{6(2\xi_0 \sin \alpha - \cos \alpha)}{\cos \alpha} \frac{\chi^2 - [1 + a(\xi - \xi_0)]\chi}{[1 + a(\xi - \xi_0)]^3 - 2\xi[1 + a(\xi - \xi_0)]^2 \operatorname{tg} \alpha}. \quad (14)$$

$$\Pi = \frac{6(2\xi_0 \sin \alpha - \cos \alpha)}{\sin \alpha (1 + a\xi_0)} \left\{ \frac{a(\xi - \xi_0)}{1 + a(\xi - \xi_0)} \left[\frac{1 + \frac{1}{2}a(\xi - \xi_0)}{1 + a(\xi - \xi_0)} - \frac{a - 2tg\alpha}{2tg\alpha(1 - a\xi_0)} \right] + \ln \frac{1 - 2\xi_0 tg\alpha}{a(\xi - \xi_0) + 1 - 2tg\alpha} \right\}, \quad (15)$$

В том случае, когда $a \ll 1$, мы можем заменить один из множителей знаменателя приближенным выражением [3] $[1 - a(\xi - \xi_0)]^3 \approx 1 - 3a(\xi - \xi_0)$, и тогда после интегрирования (13) получим:

$$\Pi = \frac{6(2\xi_0 \sin \alpha - \cos \alpha)}{\cos \alpha [(3a\xi_0 - 1)tg\alpha - a]} \cdot \ln \frac{[1 + 3a(\xi - \xi_0)](1 - 2\xi_0 tg\alpha)}{a(\xi - \xi_0) + 1 - 2tg\alpha} \quad (16)$$

Легко видеть, что, если в (14)-(16) положить $a = 0$, мы получим решение задачи медленного течения в коаксиальном коническом канале постоянной ширины [1,2]:

$$v = \frac{6(2\xi_0 \sin \alpha - \cos \alpha)}{\cos \alpha - 2\xi \sin \alpha} (\chi^2 - \chi), \quad (17)$$

$$\Pi = \frac{6(2\xi_0 \sin \alpha - \cos \alpha)}{\sin \alpha} \ln \frac{1 - 2\xi tg\alpha}{1 - 2\xi_0 tg\alpha} \quad (18)$$

Сравним результаты расчетов перепада давления по формулам (15) и (16) с результатами расчета с помощью ступенчатой аппроксимации [1,2]:

$$\Pi = - \frac{6(2\xi_0 \sin \alpha - \cos \alpha)}{\sin \alpha} \sum_{i=1}^N \frac{1}{\chi_{0i}} \ln \frac{\chi_{0i} - 2\xi_{i+1} tg\alpha}{\chi_{0i} - 2\xi_i tg\alpha}, \quad (19)$$

где $\chi_{0i} = \chi_{0i-1} + (\xi_i - \xi_{i-1})a$, $\xi_i = \xi_0 + \frac{\xi_0}{N}i$, N - число ступеней. Результаты, получаемые с помощью (19) для течения между соосными конусами с общей вершиной отличаются от точного решения не более, чем на 0,5% при $N \geq 60$ [1,2]

Рассмотрим течение в канале с параметрами: $y_0=10$, $\alpha=15^\circ$, и при четырех значениях величины "а": 1)- $a = (-7 \cdot 10^{-3})$, 2)- $7 \cdot 10^{-3}$, 3)- $(-3 \cdot 10^{-3})$, 4)- $3 \cdot 10^{-3}$. В первых двух случаях ширина канала на длине канала равной $\Delta\xi = 100$ изменяется на 70% своей величины (уменьшается для $a = -7 \cdot 10^{-3}$ и увеличивается для $a = 7 \cdot 10^{-3}$), в последних двух случаях ширина канала изменяется почти на треть своего начального значения.

Площадь поперечного сечения коаксиального канала переменной ширины определится выражением:

$$S = \int_0^{h_0[1+a(\xi-\xi_0)]} (R \sin \alpha - X \cos \alpha) dX = \pi h_0^2 [1 + a(\xi - \xi_0)] (2\xi \sin \alpha - [1 + a(\xi - \xi_0)] \cos \alpha), \quad (20)$$

что приводит к следующей зависимости средней безразмерной скорости от ξ :

$$\bar{v} = \frac{2\xi_0 \sin \alpha - \cos \alpha}{[1 + a(\xi - \xi_0)](2\xi \sin \alpha - [1 + a(\xi - \xi_0)] \cos \alpha)} \quad (21)$$

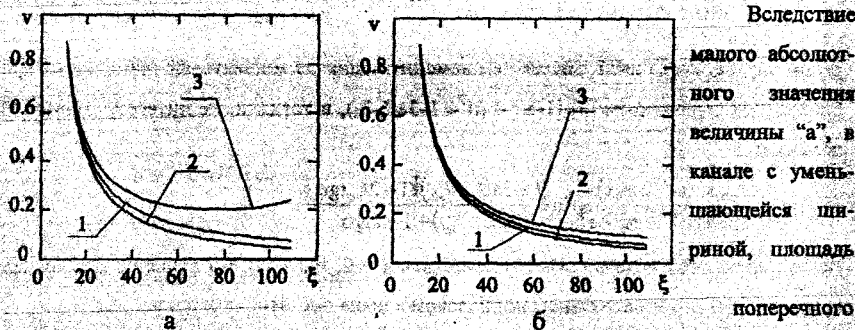


Рис. 2. Изменение средней по поперечному сечению канала безразмерной скорости вдоль канала. а - для течения в канале с $|a| = 7 \cdot 10^{-3}$. 1 - $\xi_0 = 0$; 2 - $\xi_0 = 7 \cdot 10^{-3}$; 3 - $(-7 \cdot 10^{-3})$. б - для течения в канале с $|a| = 3 \cdot 10^{-3}$. 1 - $\xi_0 = 0$; 2 - $\xi_0 = 3 \cdot 10^{-3}$; 3 - $(-3 \cdot 10^{-3})$.

будет увеличиваться вдоль течения, что приводит к уменьшению \bar{v} (рис. 2). На некотором расстоянии от входа площадь S достигает своего максимального значения (соответственно \bar{v} - минимального) и затем начинает уменьшаться, что приводит к увеличению \bar{v} , а в целом - к немонотонной зависимости $\bar{v}(\xi)$.

Расстояние, на котором \bar{v} достигает своего минимального значения, можно получить из условия $\frac{d\bar{v}}{d\xi} = 0$:

$$\xi' = \frac{(1 - a\xi_0)(a \cos \alpha - \sin \alpha)}{a(2 \sin \alpha - a \cos \alpha)} \quad (22)$$

и при $a = -7 \cdot 10^{-3}$, $\xi = 77,41$.

Перепад давления в канале с $a = -7 \cdot 10^{-3}$ увеличивается вдоль течения значительно сильнее, чем в канале постоянной ширины (рис. 3). Если в канале с $a = 0$ модуль градиента давления вдоль канала монотонно уменьшается, то при $a = -7 \cdot 10^{-3}$ его зависимость от ξ немонотонна. Вблизи входа в канал $\left| \frac{d\Pi}{d\xi} \right|$ уменьшается, но, начиная с некоторого

расстояния ξ'' , модуль градиента давления начинает расти, и зависимость $(-\Pi(\xi))$ становится более крутой (рис. 3). Точку перегиба функции $\Pi(\xi)$ можно определить с по-

мощью (13), положив $\frac{d^2\Pi}{d\xi^2} = 0$, получим:

$$\xi'' = \frac{(a\xi_0 - 1)(2a - \operatorname{tg}\alpha)}{2a(a - 2\operatorname{tg}\alpha)} \quad (23)$$

В рассматриваемом случае $\xi'' \approx 39,7$. Значения ξ' и ξ'' не совпадают потому, что зависимость градиента давления от продольной координаты (13) более сильная, чем зависимость средней скорости (21).

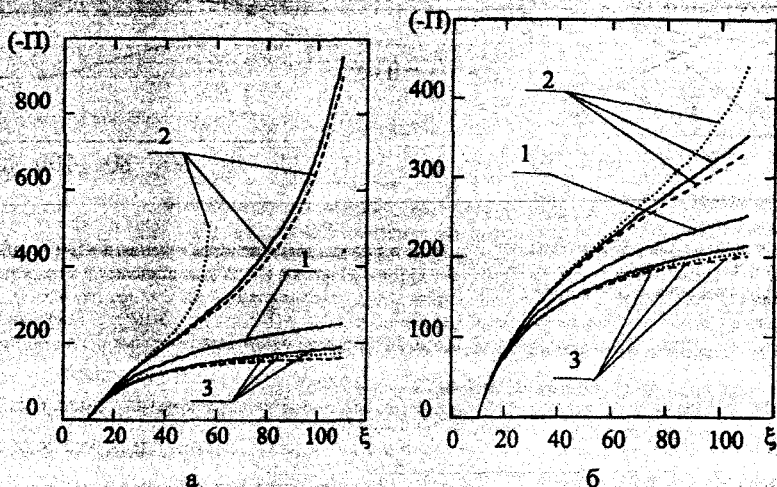


Рис. 3. Распределение безразмерного давления вдоль канала. Сплошная линия – расчет по (15), пунктирная – по (16), штриховая – по (19). а – для течения в канале с $|a| = 7 \cdot 10^{-3}$. 1 – $a = 0$; 2 – $a = 7 \cdot 10^{-3}$; 3 – $(-7 \cdot 10^{-3})$. б – для течения в канале с $|a| = 3 \cdot 10^{-3}$. 1 – $a = 0$; 2 – $a = 3 \cdot 10^{-3}$; 3 – $(-3 \cdot 10^{-3})$.

Сравнение значений Π , рассчитанных по (15) и (19), дает хорошее согласие (рис. 3,4), а вычисление Π с помощью (16) при $a < 0$ может привести к значительным ошибкам (рис. 3).

При течении в канале с $a = 7 \cdot 10^{-3}$ площадь поперечного сечения канала будет монотонно расти с увеличением ξ , и это увеличение площади несколько сильнее, чем при течении в канале постоянной ширины, вследствие чего средняя скорость уменьшается быстрее вдоль течения (рис. 2). Перепад давления в этом случае также меньше, чем в канале постоянной ширины (рис. 3). Интересно отметить, что в этом случае согласие расчета перепада давления между (16) и (19) лучше, чем между (15) и (19) (рис. 3, 4).

В случае течения с более слабым изменением ширины канала вдоль течения картина течения качественно не изменяется (рис. 2-4(б)). Отклонения в результатах расчета давления по (15) и (16) от расчета по (19) становятся меньше (рис. 3,4). Также, как и в предыдущих случаях, при течении в канале с уменьшением ширины вдоль течения (для

диффузорного течения) лучшее приближение дает расчет по (15), а при увеличении ширины - по (16) (рис. 3,4).

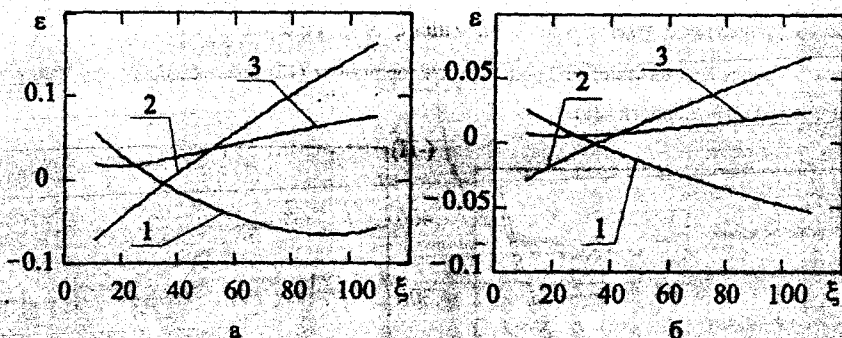


Рис. 4. Распределение относительного отклонения в расчетах давления вдоль течения. а - для каналов с $|\alpha| = 7 \cdot 10^{-3}$. 1-отклонение между зависимостями (15) и (19) при $\alpha = (-7 \cdot 10^{-3})$; 2- отклонение между зависимостями (15) и (19) при $\alpha = 7 \cdot 10^{-3}$; 3 - отклонение между зависимостями (1) и (19) при $\alpha = 7 \cdot 10^{-3}$. б - для каналов с $|\alpha| = 3 \cdot 10^{-3}$. 1-отклонение между зависимостями (15) и (19) при $\alpha = (-3 \cdot 10^{-3})$; 2- отклонение между зависимостями (15) и (19) при $\alpha = 3 \cdot 10^{-3}$; 3 - отклонение между зависимостями (1) и (19) при $\alpha = 3 \cdot 10^{-3}$.

Вычисления показывают, что изменения величины угла раскрытия канала α качественных изменений в распределение давления не вносят. Отметим здесь, что если положить $\alpha = 90^\circ$, мы получим соотношения, описывающие радиальное течение между плоскостью и конусом с осью перпендикулярной плоскости и произвольно расположенной вершиной.

Приведенные в работе результаты значительно упрощают в некоторых случаях исследование и расчет течения в проточных элементах формующего оборудования экструзионных машин.

Обозначения

P, P_0 - давление текущее и на входе, Па; Q - объемный расход, m^3/s ; R, R_0 - координата радиальная и входа в канал, м; h_0 - начальная ширина канала, м; x, y, z - декартовы координаты, м; α - половина угла раскрытия конуса, рад; μ - вязкость, Па·с; θ - угловая координата, рад; X - поперечная биконическая координата, м.

Список литературы: 1. Ульев Л.М. Медленные течения между соосными коническими поверхностями // Инж. - физ. журн. - 1998. - Т. 71, №. 6. - С. 1092- 1098. 2. Ульев Л.М. Медленные течения в коаксиальных конических каналах // Вестник ХТТУ. - 1997. - Вып. 7. Ч. 2. Механика. Машиностроение. - С. 22-31. 3. Фихтенгольц Г.М. Курс дифференциального и интегрального исчисления. Т. 1. - М.: Госиздат. физ.- мат. лит. 1962. - С. 608.

Поступила в редколлегию 15.04.99